

Метод псевдопотенциала: практические аспекты

Метод псевдопотенциала: практические аспекты

- Способ генерации псевдовалентных орбиталей

Метод псевдопотенциала: практические аспекты

- Способ генерации псевдовалентных орбиталей

Метод Филипса–Клейнмана и его обобщения:

$$\chi_v = \varphi_v + \sum_c \lambda_c \varphi_c \quad (7.1)$$

⇒ Вопрос сводится к выбору коэффициентов смешивания λ_c

Метод псевдопотенциала: практические аспекты

- Способ генерации псевдовалентных орбиталей

Метод Филипса–Клейнмана и его обобщения:

$$\chi_v = \varphi_v + \sum_c \lambda_c \varphi_c \quad (7.1)$$

⇒ Вопрос сводится к выбору коэффициентов смешивания λ_c

- Способ генерации остовного псевдопотенциала

Метод Годдарда–Кана: «обращение» уравнения для псевдоорбитали:

$$U_l^{\text{core}} = \varepsilon_{nl} - \frac{\hat{h}\chi_{nl}}{\chi_{nl}} \quad (7.2)$$

Метод псевдопотенциала: практические аспекты

- Способ генерации псевдовалентных орбиталей

Метод Филипса–Клейнмана и его обобщения:

$$\chi_v = \varphi_v + \sum_c \lambda_c \varphi_c \quad (7.1)$$

⇒ Вопрос сводится к выбору коэффициентов смешивания λ_c

- Способ генерации остовного псевдопотенциала

Метод Годдарда–Кана: «обращение» уравнения для псевдоорбитали:

$$U_l^{\text{core}} = \varepsilon_{nl} - \frac{\hat{h}\chi_{nl}}{\chi_{nl}} \quad (7.2)$$

Альтернативные конструкции – отказ от представления (7.1) или (7.2)

- Начнем со способов генерации псевдовалентных орбиталей

Из прошлой лекции (№6):

Хартри-фоковские орбитали атома можно представить в виде:

$$\varphi_{nlm} = R_{nl}(r) \cdot Y_{lm}(\theta, \phi)$$

С учетом этого, псевдовалентные орбитали записываются как

$$\chi_{nlm} = \varphi_{nlm} + \sum_{n_c < n} \lambda_{nl, n_cl} \varphi_{n_clm} = \left[R_{nl} + \sum_{n_c < n} \lambda_{nl, n_cl} R_{n_cl} \right](r) \cdot Y_{lm}(\theta, \phi)$$

(пока остаемся в рамках схемы Филипса–Клейнмана !)

Т.е. псевдовалентному преобразованию подвергаются только $R_{nl}(r)$:

$$R_{nl}(r) \mapsto \tilde{R}_{nl}(r) = \left[R_{nl} + \sum_{n_c < n} \lambda_{nl, n_cl} R_{n_cl} \right](r) \quad (7.3)$$

(что естественно – нам нужно устранить именно радиальные узлы!)

- **Общие требования к радиальной части псевдоорбитали $\tilde{R}_{nl}(r)$:**

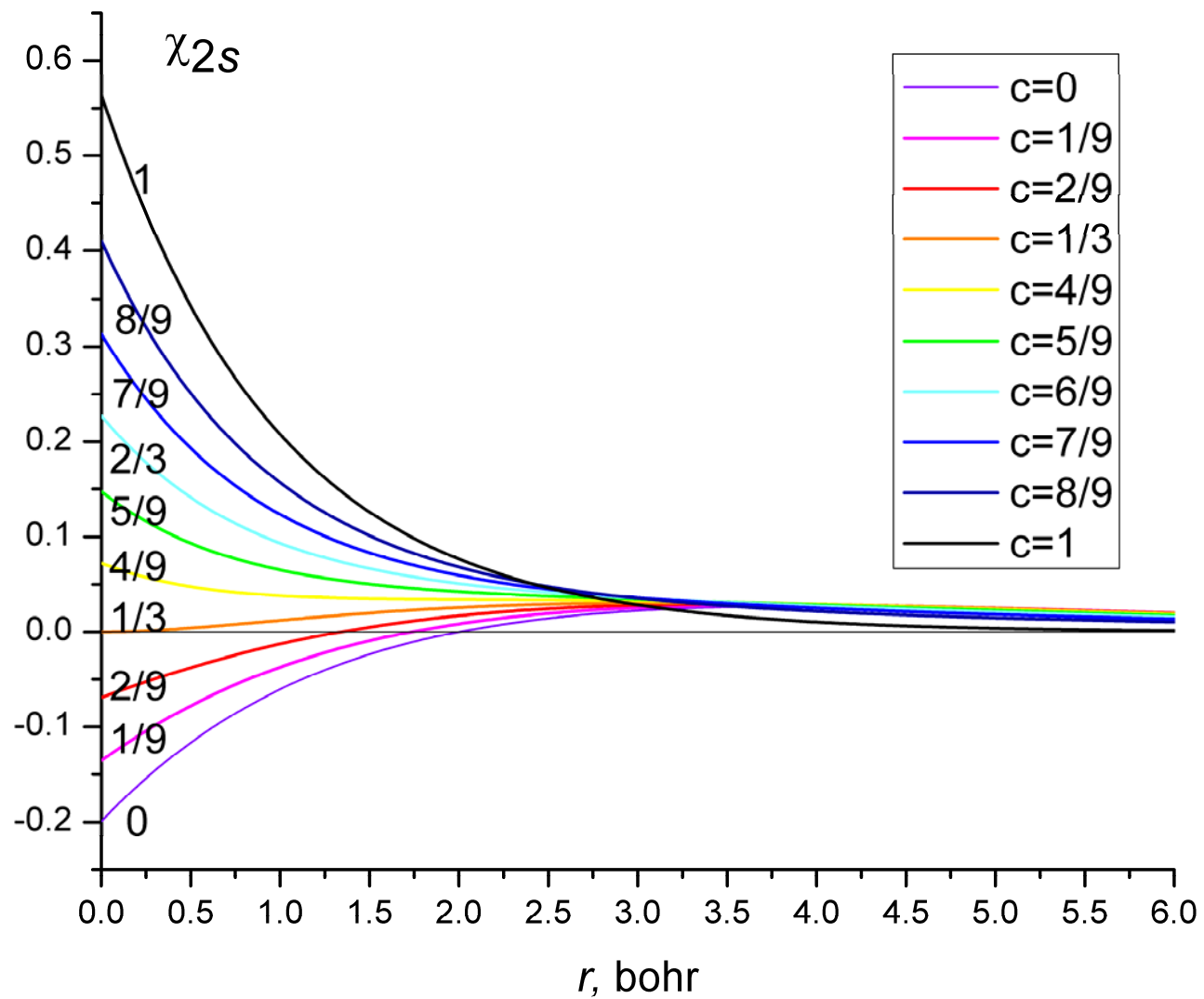
L. R. Kahn, P. Baybutt and D. G. Truhlar / Journal of Chemical Physics 65 (1976) 3826

- (I) $\tilde{R}_{nl}(r)$ не имеет радиальных узлов (кроме $r = 0$);
- (II) $\tilde{R}_{nl}(r)$ минимально уклоняется от «истинной» $R_{nl}(r)$;
- (III) $\tilde{R}_{nl}(r)$ по возможности не имеет волнообразного поведения в осто́ве

Уже на примере атома водорода мы видели, что:

- Одновременное удовлетворения поставленных условий невозможно
 \Rightarrow возможны только компромиссные решения.

- Иллюстрация на примере атома водорода (лекция №5):



- **Поиск компромисса в общем случае – задача вариационного типа.**

Рассмотрим сначала первые два условия:

- (I) $\tilde{R}_{nl}(r)$ не имеет радиальных узлов (кроме $r = 0$);
- (II) $\tilde{R}_{nl}(r)$ минимально уклоняется от «истинной» $R_{nl}(r)$

Компромисс: минимизация целевого функционала относительно λ_c :

$$F_{\mu}(\lambda_c) = \left(\frac{1}{1 + \mu} \right) \langle \chi_{nlm} | \hat{P}_c | \chi_{nlm} \rangle + \left(\frac{\mu}{1 + \mu} \right) \int_0^{\infty} \left[\frac{d}{dr} \left(\frac{\tilde{R}_{nl}}{r^l} \right) \right]^2 dr \Rightarrow \min$$

Первое слагаемое – условие (II); второе слагаемое – условие (I)

Параметр μ – относительная значимость этих условий (*подбор*)

- Общие требования к радиальной части псевдоорбитали $\tilde{R}_{nl}(r)$:

Третье условие:

(III) $\tilde{R}_{nl}(r)$ по возможности не имеет волнообразного поведения в осто

На примере s-состояний атома водорода мы видели, что волны в остовной части псевдоорбитали возникают вследствие смены знака

радиальной производной от окрестности ядра, где $\frac{R'_{ns}}{R_{ns}} \rightarrow -1, \quad r \rightarrow 0$

(условие Като), до левого склона максимума валентной орбитали,

где должно быть $\frac{R'_{ns}}{R_{ns}} > 0$.

⇒ Условие (III) для s-состояний:

$$\tilde{R}'_{ns}(0) = 0$$

⇒ В силу условия Като:

$$\tilde{R}_{ns}(0) = 0$$

- Иллюстрация на примере атома водорода (лекция №5):

$$\varphi_{1s}(r) = \frac{1}{\sqrt{\pi}}(1 - r + \dots); \quad \varphi_{2s}(r) = \frac{1}{\sqrt{8\pi}}(1 - r + \dots)$$

«Компромиссная» псевдоорбиталь:

$$\chi_{2s} = 1/3 \varphi_{1s} - \sqrt{8}/3 \varphi_{2s} = C r^2 + \dots \quad (r \rightarrow 0) \quad (7.3)$$

Т.е. в самом деле: $\chi_{2s}(0) = 0$ и одновременно $\chi'_{2s}(0) = 0$

- Для произвольного значения l и заряда ядра Z :

L. R. Kahn, P. Baybutt and D. G. Truhlar / Journal of Chemical Physics 65 (1976) 3826

Условие Като:
$$\frac{d(r^{-l} R_{nl})/dr}{r^{-l} R_{nl}} \rightarrow -\frac{Z}{l+1}, \quad r \rightarrow 0 \quad (7.4)$$

\Rightarrow Условие (III) для l -состояний:
$$\lim_{r \rightarrow 0} d(r^{-l} \tilde{R}_{nl})/dr = 0$$

\Rightarrow В силу условия Като:
$$\lim_{r \rightarrow 0} r^{-l} \tilde{R}_{nl} = 0$$

Другими словами, мы требуем, чтобы:

$$\tilde{R}_{nl}(r) \sim C r^{l+2}, \quad r \rightarrow 0 \quad (7.5)$$

Частный случай (7.5) для s-состояний – см. (7.3)

Заметим, что для «истинных» АО:

$$R_{nl}(r) \sim C r^l, \quad r \rightarrow 0 \quad (7.6)$$

- **Теперь рассмотрим способы получения остоного потенциала**

Метод Годдарда–Кана: «обращение» уравнения для псевдоорбитали

$$U_l^{\text{core}} = \varepsilon_{nl} - \left[\frac{l(l+1)}{2r^2} - \frac{Z}{r} \right] + \frac{\frac{1}{2}\tilde{R}_{nl}'' + \frac{1}{r}\tilde{R}_{nl}'}{\tilde{R}_{nl}} \quad (6.13)$$

(W.A. Goddard III, 1968) \Rightarrow явное выражение при заданной $\tilde{R}_{nl}(r)$.

Пусть $\tilde{R}_{nl}(r)$ задана степенным рядом (с учётом асимптотики **(7.5)**):

$$\tilde{R}_{nl}(r) = r^{l+2}(\tilde{C}_0 + \tilde{C}_1 r + \dots) \quad (7.7)$$

Подставляем в **(6.13)** и «делим» степенные ряды:

$$U_l^{\text{core}}(r) = \frac{2l+3}{r^2} + \left[Z + (l+3)\frac{\tilde{C}_1}{\tilde{C}_0} \right] \frac{1}{r} + \dots \quad (7.8)$$

- **Мораль:** условие обращения псевдоорбитали в нуль по закону

$$\tilde{R}_{nl}(r) \sim C r^{l+2}, \quad r \rightarrow 0 \quad (7.5)$$

приводит к сильно отталкивательному вблизи ядра основному потенциалу типа модельного **псевдопотенциала Саймонса** (лекция №4, “hard-core”)

- **Замечание:** на прошлой лекции (№6) мы получили соотношение:

$$U_v^{\text{core}} = \varepsilon_v - \frac{\hat{h}\chi_v}{\chi_v} = \frac{\left\{ \sum_c (2\hat{J}_c - \hat{K}_c)_+ \hat{V}^{\text{GPK}} \right\} \chi_v}{\chi_v} \quad (6.7)$$

Поскольку хартри-фоковский потенциал остова не является сингулярным на ядре, видно, что причиной сингулярности порядка $1/r^2$ в (7.8) является именно обобщенный потенциал Филипса–Клейнмана \hat{V}^{GPK} .

- Проблема l -зависимости (лекция №6):

Пример: атом Rb: $[1s^2 2s^2 2p^6 3s^2 3p^6 3d^{10} 4s^2 4p^6] (nl)^1$

Приближение Хартри–Фока позволяет описывать только низшее состояние в каждом типе симметрии \Rightarrow актуальны только следующие валентные орбитали: $5s, 5p, 4d, 4f, 5g, 6h, \dots$

- **Зеленые:** не имеют партнёров в осто́ве \Rightarrow не имеют радиальных узлов (кроме $r = 0$) \Rightarrow не требуется псевдовалентного преобразования:

$$\chi_{4f} = \varphi_{4f} ; \quad \chi_{5g} = \varphi_{5g} ; \quad \chi_{6h} = \varphi_{6h} ; \quad \dots$$

В общем случае:

$$l > l_c^{\max} : \quad \chi_{nl} = \varphi_{nl} \tag{6.10}$$

$$(n = n_{\min}(l) = l + 1)$$

В этом случае, очевидно,

$$U_l^{\text{core}} = \varepsilon_{nl} - \frac{\hat{h}\varphi_{nl}}{\varphi_{nl}} \quad (l > l_c^{\text{max}})$$

и после отделения угловых переменных вместо **(6.13)** имеем:

$$U_l^{\text{core}} = \varepsilon_{nl} - \left[\frac{l(l+1)}{2r^2} - \frac{Z}{r} \right] + \frac{\frac{1}{2}R_{nl}'' + \frac{1}{r}R_{nl}'}{R_{nl}} \quad (l > l_c^{\text{max}}) \quad (7.9)$$

с обычной (безузловой!) валентной радиальной функцией (см. **(7.6)**):

$$R_{nl}(r) = r^l \left(C_0 - \frac{Z}{l+1} C_0 r + \dots \right) \quad (7.10)$$

Замечание: пропорциональность коэффициентов C_0 и C_1 – следствие условия Като в форме **(7.4)**.

Подстановка (7.10) в (7.9) дает:

$$U_l^{\text{core}}(r) = \left[\varepsilon_{nl} - \frac{Z^2}{l+1} + (2l+3) \frac{C_2}{C_0} \right] + \\ + \left[-\frac{Z^3}{(l+1)^2} + Z \left(\frac{3l+4}{l+1} \right) \frac{C_2}{C_0} + 3(l+2) \frac{C_3}{C_0} \right] r + \dots \\ \left(l > l_c^{\text{max}} \right) \quad (7.11)$$

L. R. Kahn, P. Baybutt and D. G. Truhlar / Journal of Chemical Physics 65 (1976) 3826

Видим, что потенциал в данном случае – регулярный в нуле.

Причина: Поскольку \hat{V}^{GPK} отсутствует в уравнении для «истинной» хартри-фоковской орбитали, потенциал остова (7.11) является, по сути, локальным представлением оператора $\sum_c (2\hat{J}_c - \hat{K}_c)$ (ср. метод МСР)

- **Полулокальное представление остоного потенциала:**

С учётом явной l – зависимости:

$$\hat{U}^{\text{core}} = \sum_{l=0}^{\infty} U_l^{\text{core}}(r) \hat{P}_l, \quad \hat{P}_l = |l\rangle\langle l| = \sum_{m=-l}^{+l} |Y_{lm}\rangle\langle Y_{lm}| \quad (7.12)$$

На практике обычно его обрывают на слагаемом с номером $L = l_c^{\text{max}} + 1$ и преобразуют к виду:

$$\hat{U}^{\text{core}} \approx \sum_{l=0}^L U_l^{\text{core}}(r) \hat{P}_l \approx U_L^{\text{core}}(r) + \sum_{l=0}^{L-1} [U_l^{\text{core}} - U_L^{\text{core}}](r) \hat{P}_l \quad (7.13)$$

где первое слагаемое содержит *приблизительно общий* для всех валентных оболочек хартри-фоковский потенциал остова $\sum_c (2\hat{J}_c - \hat{K}_c)$,

регулярный в нуле, а «разностные» потенциалы содержат сингулярные $(\sim 1/r^2)$ вклады от \hat{V}^{GPK} , **специфические для разных оболочек.**